

福井工業大学 正会員 岩川 康男  
金沢大学 正会員 小堀 義雄

**1 まえがき** 限界状態設計法では、終局限界に対する安全性の検討から断面を定め、使用限界に対しては照査されるのが一般的な方法である。使用限界状態に含まれる振動限界に対する照査方法は、まだ確立されていないが、その照査が義務づけられる傾向にある。そこで、著者らは橋梁の振動が歩行者に及ぼす心理的な影響という点から考察を加え<sup>1)2)</sup>、その評価尺度として最も適していると思われる非使用性確率を提案してきた<sup>3)</sup>。ところが、その確率の算出法は繁雑のために設計に用いることは容易ではない。そこで、本文では非使用性確率を用いて歩道橋の使用性が検討できるような実用的方法を検討した。

## 2 図式解法による非使用性確率 歩行者の振動

感覚を説明するとき、振動速度の実効値を用いることを提案してきたが<sup>4)</sup>、ここでその乗積を考えることにする。

振動刺激の確率密度を  $f_s(x)$ 、反応の確率分布関数を  $F_R(x)$  とするとき、非使用性確率は次式で求められる<sup>4)</sup>。

$$P_d = \int_0^{\infty} f_s(x) F_R(x) dx \quad (1)$$

ここで、  $F_R(x)$  については図-3に示したようにほぼ正規分布とみなしうる。そこで、歩行者がポアソン到着するとき、文献4)の刺激分布の計算方法によれば、歩行者の平均到着数入Tによって図-1のように、その分布形が変化する。 $\lambda T$  が大きくなると平坦な部分が増え、台形に近くなる。そこで、刺激区間  $j$  に入る確率を台形の高さとし、元の分布の平均と標準偏差にできるだけ近くなるよう台形の形を定めて刺激分布とみなすこととした。式(1)において  $f_s(x)$  が台形であれば図解法が可能となる。その手順を図-3に従って説明する。①  $B + n_1 A$  を横座標にとり、直線と反応曲線との交点を X とする。②  $B + n_2 A$  を横座標上にとり点 Y とする。③  $B + \frac{n_1 + n_2}{2} A$  を横座標上にとり、その点の反応率の  $1/2$  点を点 Z とする。④ OXYZ の面積を求め、R とする。⑤ 非使用性確率は次式で計算される。

$$P_d = R \cdot P(1) / H \cdot L \cdot A \quad (2)$$

ここで、  $n_1$ 、 $n_2$ 、 $P(1)$  については図-2より求められる。また、A はある歩行者一人の歩行者から受ける刺激の最大値であり、文献4)では図-3の単位区間幅として用いる。B は歩行者自身が与す刺激である。このような図解による確率は厳密に求めた値とほとんど差がなく、実用的な方法として有効である。

**3 アーラン到着に対する非使用性確率** 歩行者が増えるとアーラン到着をするようになる。この場合にはポアソン到着する歩行者列が数列あるものと考えればよく、各列による刺激の和を求めればよい。各列への平均到着数を  $\lambda T / k$  ( $\gg 2$ ) とするとき、近似的にその平均は  $B + 0.5 \lambda T A$ 、分散は  $0.083 \frac{(\lambda T)^2}{k}$

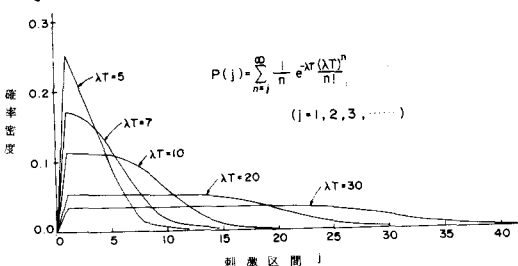


図-1 区間  $j$  に刺激の  $n$  乗が入る確率

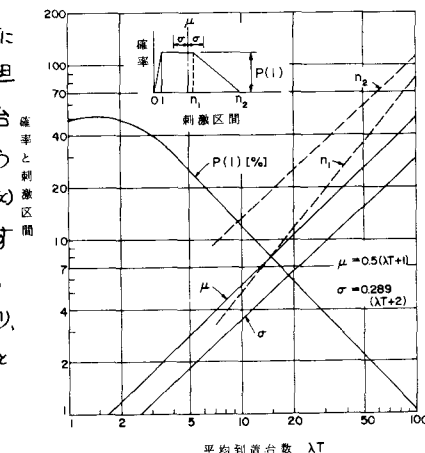


図-2 刺激の  $n$  乗分布の諸数値

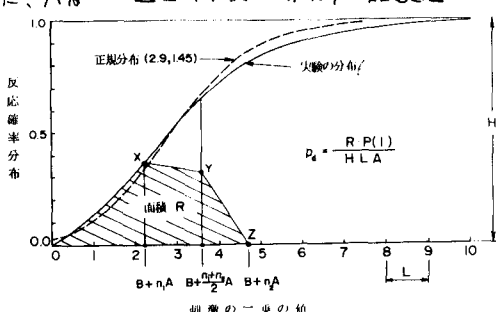


図-3 非使用性確率の図式解法

となる。しかも、大きくなれば中心極限定理によつて刺激の分布は正規分布に近づく。そして、一定間隔に歩行者が到着する場合 ( $\lambda T \rightarrow \infty$ ) にはどの歩行者も同じ刺激を受けることとなる。図-4には  $\lambda T = 20$  のときの刺激分布を示し、図-5には 40m の鋼床版単純橋に歩行者がポアソン ( $k=1$ )、アーラン ( $k=2$ )、一定 ( $k=\infty$ ) 型の到着をしたときの非使用性確率を示したが、到着の仕方によって、その確率はあまり変化しないことがわかる。

**4 使用性指標** 安全性評価において荷重や強度の分布形などの問題点から確率論の適用の是非が議論され、安全性指標が提案されている。使用性問題も同様な指標を用いることによって評価できれば、設計との結びつきをより緊密に考えることができる。そこで、感覚反応  $R$  と振動刺激  $S$  との差を使用性の余裕  $M$  とするとき、その差の平均  $\mu_M$  が使用性を損う限界である  $M=0$  から標準偏差  $\sigma_M$  の何倍だけ離たっているかを使用性指標  $\beta_d$  で表わすことにする。 $\beta_d$  は前述したことなどによって次式で表わされる。

$$\beta_d = \frac{\mu_M}{\sigma_M} = (\mu_R - \mu_S) / \sqrt{\sigma_R^2 + \sigma_S^2} \\ \approx \{2.9 - 0.5(\lambda T + 3)A\} / \sqrt{1.45^2 + 0.083(\lambda T A)^2/k} \quad (3)$$

また、  $R$  と  $S$  がともに正規分布であれば、非使用性確率  $P_d$  は

$$P_d = 1 - \Phi(\beta_d) \quad (4)$$

となる。これらの関係を図-6の(c)(d)に示した。 $\beta_d > 0$  の範囲では、歩行者の到着の仕方にあまり影響されない。また、刺激分布を正規分布であると考えても非使用性確率は  $\beta_d < 1.6$  の範囲で大きく変わることはない。しかも、影響の最大値  $A$  と影響範囲  $T$  は図-6の(a)(b)のように、振動数・減衰定数・橋梁重量の補正を行うことによって求めることができ、この種の使用性を図-6によって図式的に検討することができる。また、逆に非使用性確率のある値以下にするには橋梁の特性値をどのような数値にすべきかという設計上有効な情報を容易に得ることができる。使用性問題においては、この指標が持つ意義は安全性指標ほど重要ではないかも知れないが、指標をダミーとして、図-6のような図式解法が可能となり、実用的な尺度であろう。現在までに単純橋の歩道橋について検討してきたが、他の形式の歩道橋や道路橋に対しても提案できれば、橋梁の使用性評価を一層発展させることができるであろう。

## 参考文献

- 1) 道路橋の振動とその振動感覚、土木学会論文報告集第222号
- 2) 橋梁振動の人間工学的評価法、同上 230号
- 3) 単一動荷重に対する道路橋の振動感覚、同上 248号
- 4) 動的応答が現れた歩道橋の使用性に関する確率的検討、同上 266号

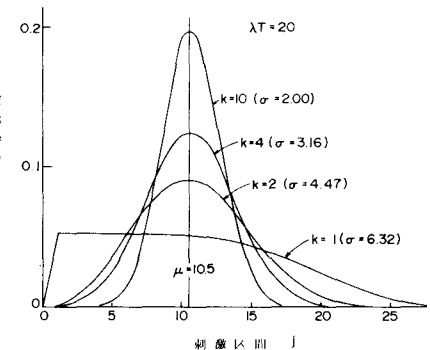


図-4 アーラン到着に対する刺激の分布

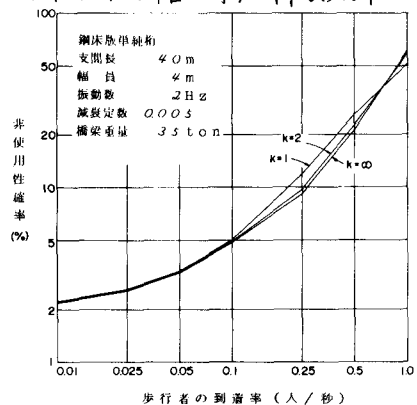


図-5 アーラン到着の仕相による非使用性確率

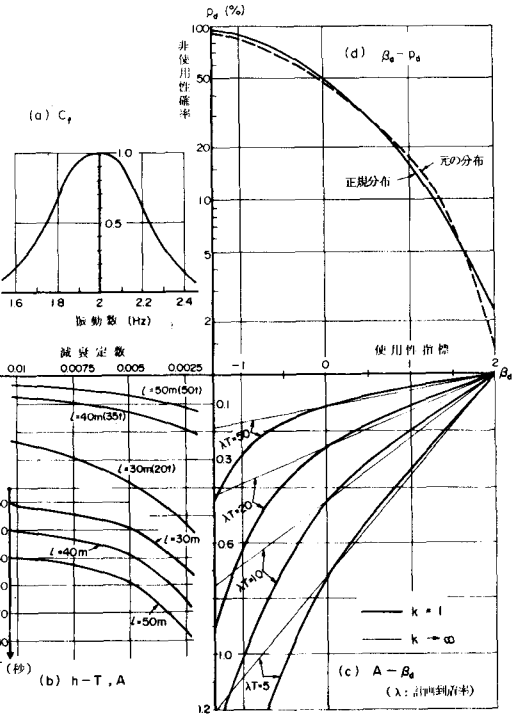


図-6 使用性指標と非使用性確率